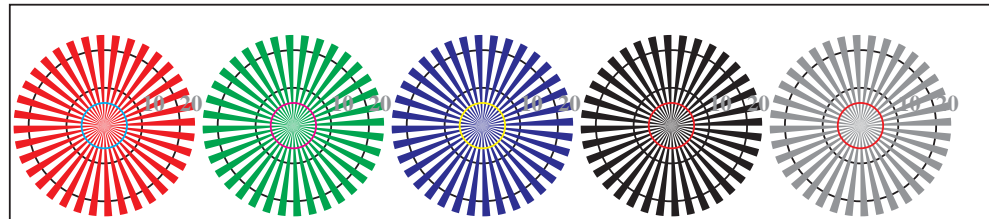


TF841-1, Fig. D4Wd: 16 équidistants étapes $W-R_d$; $W-G_d$; $W-B_d$; $W-N$; $rgb/cmy0 \rightarrow rgb_d$ setrgbcolor

+:-.	Q	O	O	Q	C	lmno	C	O	C	O	O	pqrs	O	O	O	O	uvwxyz	O	O	O
xyz;	O	O	O	C	O	hijk	O	C	G	B	O	lmno	O	O	O	O	pqrz	O	O	O
tuvw	G	O	O	O	C	defg	O	O	O	C	O	hijk	O	O	O	O	lmno	O	O	O
pqrs	O	O	O	C	O	!abc	O	O	O	C	O	+:-.	O	O	O	O	defg	O	O	O
lmno	O	O	O	C	O	+:-.	O	O	O	C	O	xyz;	O	O	O	O	uvwxyz	O	O	O
hijk	C	O	O	C	O	tuvw	O	O	O	C	O	tuvw	O	O	O	O	defg	O	O	O
defg	O	O	O	C	O	pqrs	O	O	O	C	O	!abc	O	O	O	O	!abc	O	O	O
!abc	O	O	O	C	O	6	N	R_d	G_d	B_d	Z	6	N	R_d	G_d	B_d	Z	4	N	R_dG_dB_dZ
10	N	R_d	G_d	B_d	Z	8	N	R_d	G_d	B_d	Z	8	N	R_d	G_d	B_d	Z	10	N	R_dG_dB_dZ

TF841-3, Fig. D5Wd: code et Landolt anneau N ; R_d ; G_d ; B_d ; Z ; PS operator $rgb \rightarrow rgb_d$ setrgbcolor



radial callebotis $W-R_d$ radial callebotis $W-G_d$ radial callebotis $W-B_d$ radial callebotis $W-N$ radial callebotis $W-Z$



TF840-7, Fig. D3Wd: 14 CIE test couleurs et 2 + 16 gris étapes (sf); $rgb/cmy0 \rightarrow rgb_d$ setrgbcolor

0-1	anneaux Landolt $W-R_d$	Code	anneaux Landolt $W-G_d$	Code
7-8				
E-F				
2-0				
8-6				
F-D				

TF841-5, Fig. D6Wd: anneaux Landolt $W-R_d$; $W-G_d$; PS operator $rgb \rightarrow rgb_d$ setrgbcolor

0-1	anneaux Landolt $W-B_d$	Code	anneaux Landolt $W-N$	Code
7-8				
E-F				
2-0				
8-6				
F-D				

TF841-7, Fig. D7Wd: anneaux Landolt $W-B_d$; $W-N$; PS operator $rgb \rightarrow rgb_d$ setrgbcolor